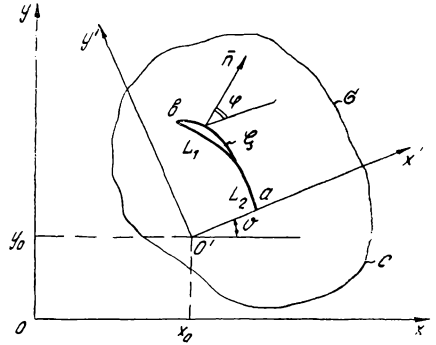


### ТЕМПЕРАТУРНЫЕ НАПРЯЖЕНИЯ В ОСТЫВАЮЩЕМ ТЕЛЕ, ОСЛАБЛЕННОМ ТРЕЩИНОЙ, С УЧЕТОМ КОНТАКТА ЕЕ БЕРЕГОВ

Решения стационарных задач термоупругости для бесконечных и полубесконечных изотропных и анизотропных пластин с трещинами при частичном контакте их берегов известны [1—4]. Ниже рассматривается задача о нестационарных температурных напряжениях в цилиндрическом анизотропном теле, ослабленном туннельной трещиной с частично контактирующими берегами.

**1. Постановка задачи.** Рассмотрим анизотропное по теплофизическим и упругим свойствам цилиндрическое тело с туннельной вдоль оси  $z$  трещиной-разрезом (см. рисунок). Тело находится в условиях теплообмена с внешней средой по закону Ньютона, его границы свободны от сил, и температура внешней среды является известной функцией времени. В этих условиях температура тела и его термонапряженное состояние не зависят от координаты  $z$ . Поскольку трещина моделируется математическим разрезом, будем считать, что температурное поле непрерывно продолжимо с одного ее берега на другой. Оно описывается следующими соотношениями:



$$k_{11} \partial^2 T / \partial x^2 + 2k_{12} \partial^2 T / \partial x \partial y + k_{22} \partial^2 T / \partial y^2 = \partial T / \partial t, \\ -\chi_{ii} \partial T / \partial n |_{C} = \beta_i [T - f(t)], T = T_0 \text{ при } t=0, i = 1, 2, \quad (1)$$

где  $k_{ik} = \chi_{ik} (c \cdot \rho)^{-1}$  — коэффициенты теплопроводности;  $\|\chi_{ik}\|$  — тензор теплопроводности второго ранга;  $c$  — удельная теплоемкость;  $\rho$  — плотность материала;  $\beta_i$  — коэффициенты теплоотдачи;  $T_0$  — температура тела в начальный момент времени.

Напряжения и смещения в теле определяются формулами

$$\sigma_x = \partial^2 F / \partial y^2 = 2 \operatorname{Re} \{ \mu_1^2 \cdot \Phi_1(t, z_1) + \mu_2^2 \cdot \Phi_2(t, z_2) \} + \sigma_x^T, \\ \sigma_y = \partial^2 F / \partial x^2 = 2 \operatorname{Re} \{ \Phi_1(t, z_1) + \Phi_2(t, z_2) \} + \sigma_y^T, \quad (2) \\ \tau_{xy} = -\partial^2 F / \partial x \partial y = -2 \operatorname{Re} \{ \mu_1 \cdot \Phi_1(t, z_1) + \mu_2 \cdot \Phi_2(t, z_2) \} + \tau_{xy}^T, \\ u = 2 \operatorname{Re} \{ S_1 \Phi_1(t, z_1) + S_2 \Phi_2(t, z_2) \} + u_T, \quad v = 2 \operatorname{Re} \{ q_1 \Phi_1(t, z_1) + \\ + q_2 \Phi_2(t, z_2) \} + v_T, \\ \sigma_x^T = \partial^2 F_T / \partial y^2, \quad \sigma_y^T = \partial^2 F_T / \partial x^2, \quad \tau_{xy}^T = -\partial^2 F_T / \partial x \partial y, \\ \Phi_\nu(t, z_\nu) = \partial \varphi_\nu(t, z_\nu) / \partial z_\nu, \quad z_\nu = x + \mu_\nu y, \\ s_\nu = c_{11} \cdot \mu_\nu^2 + c_{12} - c_{16} \cdot \mu_\nu, \quad q_\nu = c_{21} \cdot \mu_\nu + c_{22} \cdot (\mu_\nu)^{-1} - c_{26}, \quad \nu = 1, 2,$$

где  $F_T$  — часть функции напряжений, соответствующая тепловому полю;  $c_{ij}$  — упругие постоянные;  $\mu_\nu$  — комплексные параметры анизотропии материала.

Граничные условия на внешнем контуре  $C$  при отсутствии внешних сил таковы:

$$a(\psi) \Phi_1^+(t, \sigma_1) + b(\psi) \overline{\Phi_1^+(t, \sigma_1)} + \Phi_2^+(t, \sigma_2) = \Phi^+(t, \sigma), \quad (3)$$

$$a(\psi) = (\mu_1 - \bar{\mu}_2) (\mu_1 \cos \psi - \sin \psi) / [(\mu_2 - \bar{\mu}_2) (\mu_2 \cos \psi - \sin \psi)],$$

$$b(\psi) = (\bar{\mu}_1 - \bar{\mu}_2) (\bar{\mu}_1 \cos \psi - \sin \psi) / [(\mu_2 - \bar{\mu}_2) (\mu_2 \cos \psi - \sin \psi)],$$

$$\Phi^+(t, \sigma) = -(\mu_2 \cos \psi - \sin \psi)^{-1} (d_j ds) (\partial F_T, \partial \sigma_2), \sigma = \text{Re } \sigma + i \mu, \text{Im } \sigma, \\ \nu = 1, 2, \sigma \in C.$$

Обозначим контур трещины-разреза через  $L = L_1 \cup L_2$ . Допустим, что на отрезке  $L_2$  берега трещины вступают в контакт, на участке  $L_1$  имеет место раскрытие берегов. Тогда при отсутствии трения между берегами краевые условия имеют вид

$$N^+ = N^-, T^+ = T^- = 0, u_n^+ + u_n^- = 0, \text{ на } L_2, \quad (4)$$

$$u_n^\pm = \pm u^\pm \cdot \cos \psi \pm v^\pm \cdot \sin \psi,$$

где  $N^\pm$  и  $T^\pm$  — нормальные и касательные усилия на левом (+) и правом (−) берегах трещины;  $u^\pm, v^\pm$  — компоненты вектора смещения;  $\psi$  — угол между осью  $ox$  и положительным направлением нормали к левому берегу в точке  $\zeta$ ,

$$N^+ = N^- = 0, T^+ = T^- = 0, \text{ на } L_1, \quad (5)$$

Используя представления (2), краевые условия (4), (5) преобразуем к виду

$$a(\psi) \cdot [\Phi_1^+(t, \zeta_1) - \Phi_1^-(t, \zeta_1)] + b(\psi) \cdot [\overline{\Phi_1^+(t, \zeta_1)} - \overline{\Phi_1^-(t, \zeta_1)}] + \\ + [\Phi_2^+(t, \zeta_2) - \Phi_2^-(t, \zeta_2)] - [\Phi^+(t, \zeta) - \Phi^-(t, \zeta)] = 0, \zeta \in L_2, \\ \text{Re} \{[(1 - \mu_1^2) \sin 2\psi - 2\mu_1 \cos 2\psi] \cdot \Phi_1^\pm(t, \zeta_1) + \\ + [(1 - \mu_2^2) \cdot \sin 2\psi - 2\mu_2 \cos 2\psi] \cdot \Phi_2^\pm(t, \zeta_2)\} + T^* = 0, \zeta \in L_2, \quad (6)$$

$$T^* = \tau_{xy}^T (\cos^2 \psi - \sin^2 \psi) + (\sigma_y^T - \sigma_x^T) \cos \psi \cdot \sin \psi,$$

$$2 \text{Re} \{(s_1 \cdot \cos \psi + q_1 \cdot \sin \psi) [\Phi_1^+(t, \zeta_1) - \Phi_1^-(t, \zeta_1)] + (s_2 \cdot \cos \psi + q_2 \sin \psi) \times \\ \times [\Phi_2^+(t, \zeta_2) - \Phi_2^-(t, \zeta_2)]\} + \{(u_T^+ - u_T^-) \cos \psi + (v_T^+ - v_T^-) \sin \psi\} = 0, \\ \zeta \in L_2,$$

$$a(\psi) \cdot \Phi_1^\pm(t, \zeta_1) + b(\psi) \overline{\Phi_1^\pm(t, \zeta_1)} + \Phi_2^\pm(t, \zeta_2) = \Phi^\pm(t, \zeta), \zeta \in L_1.$$

Таким образом, поставленная задача сводится к определению двух аналитических функций  $\Phi_\nu(t, z_\nu)$  ( $\nu=1, 2$ ) и неизвестного заранее участка контакта  $L_2$  по краевым условиям (3), (6) и некоторым дополнительным условиям однозначности перемещений в теле.

**2. Интегральные уравнения краевой задачи.** Искомые функции запишем так [5]:

$$\Phi_1(t, z_1) = \frac{1}{2\pi i} \int_L p(t, \zeta) \frac{d\zeta_1}{\zeta_1 - z_1} + \frac{1}{2\pi i} \int_C \omega(t, \sigma) \frac{d\sigma_1}{\sigma_1 - z_1}, \quad (7)$$

$$\Phi_2(t, z_2) = \frac{1}{2\pi i} \int_L q(t, \zeta) \frac{d\zeta_2}{\zeta_2 - z_2} - \frac{1}{2\pi i} \int_C a(\psi) \omega(t, \sigma) \frac{d\sigma_2}{\sigma_2 - z_2} + \\ + \frac{1}{2\pi i} \int_C b(\psi) \overline{\omega(t, \sigma)} \frac{d\sigma_2}{\sigma_2 - z_2},$$

$$q(t, \zeta) = -a(\psi) p(t, \zeta) - b(\psi) \overline{p(t, \zeta)},$$

что обеспечивает непрерывное продолжение вектора напряжения через разрез.

Подставив предельные значения функции (7) в краевые условия (3), (6), приходим к системе интегральных уравнений

$$\omega(t, \sigma_0) + \int_L K_1(\zeta, \sigma_0) p(t, \zeta) d\zeta_1 + \int_L K_1^*(\zeta, \sigma_0) \overline{p(t, \zeta)} d\bar{\zeta}_1 +$$

$$+ \int_{\bar{C}} M_1(\sigma, \sigma_0) \omega(t, \sigma) d\sigma_1 + \int_{\bar{C}} M_1^*(\sigma, \sigma_0) \overline{\omega(t, \sigma)} d\bar{\sigma}_1 = N_1(t, \sigma_0), \quad \sigma_0 \in C, \quad (8)$$

$$\operatorname{Re} \left\{ \frac{1}{\pi i} \int_{\bar{L}} \frac{\overline{b_1(\psi_0)} \overline{b(\psi)}}{\bar{\zeta}_2 - \bar{\zeta}_{20}} p(t, \zeta) d\bar{\zeta}_2 + \int_L K_2(\zeta, \zeta_0) p(t, \zeta) d\zeta_1 + \right. \\ \left. + \int_{\bar{C}} M_2(\sigma, \sigma_0) \omega(t, \sigma) d\sigma_1 \right\} = N_2(t, \zeta_0), \quad \zeta_0 \in L_2, \quad (9)$$

$$\operatorname{Re} \{ c_{11} (\mu_1 - \mu_2) (\mu_1 - \bar{\mu}_2) (\cos \psi_0 + \bar{\mu}_1 \cdot \sin \psi_0) \int_a^{\xi_0} p(t, \zeta) d\zeta_1 \} = 0, \quad (10)$$

$$\zeta_0 \in L_2,$$

$$\pi i \int_{\bar{L}} p(t, \zeta) \frac{d\bar{\zeta}_1}{\bar{\zeta}_1 - \bar{\zeta}_{10}} + \int_L K_3(\zeta, \zeta_0) p(t, \zeta) d\zeta_1 + \int_L K_3^*(\zeta, \zeta_0) \overline{p(t, \zeta)} d\bar{\zeta}_1 + \\ + \int_{\bar{C}} M_3(\sigma, \zeta_0) \omega(t, \sigma) d\sigma_1 + \int_{\bar{C}} M_3^*(\sigma, \zeta_0) \overline{\omega(t, \sigma)} d\bar{\sigma}_1 = N_3(t, \zeta_0), \quad \zeta_0 \in L_1, \quad (11)$$

$$b_1(\psi) = (1 - \mu_2^2) \sin 2\psi - 2\mu_2 \cos 2\psi$$

$(K_i, K_i^*, M_i, M_i^* (i = \overline{1, 3})$  — регулярные ядра, которые из-за громоздкости здесь не приводятся, а  $N_i (i = \overline{1, 3})$  — правые части интегральных уравнений).

Условие равенства нулю скачка нормальных перемещений в вершинах разреза обеспечивается уравнением (10). Равенство нулю скачка касательных компонент вектора перемещений приводит к дополнительному соотношению

$$\operatorname{Re} \{ c_{11} (\mu_1 - \mu_2) (\mu_1 - \bar{\mu}_2) (\sin \psi_a - \bar{\mu}_1 \cdot \cos \psi_a) \int_L p(t, \zeta) d\zeta_1 \} = 0. \quad (12)$$

Решение поставленной нелинейной краевой задачи будем искать методом последовательных приближений. Вначале рассмотрим краевую задачу для тела с разрезом  $L$  без учета контакта его берегов ( $L = L_1$ ). В этом случае необходимо решить интегральные уравнения (8), (11) с дополнительным условием однозначности смещений

$$\int p(t, \zeta) d\zeta_1 = 0. \quad (13)$$

Затем, используя известный метод [6], вычисляем на отрезке  $L$  скачки нормальных смещений  $\Delta u_n$ . Если найдутся зоны  $L_1^{(1)}, L_2^{(1)}$ , на которых выполняются соответственно условия  $\Delta u_n < 0, \Delta u_n > 0$ , то они принимаются в качестве первого приближения для зоны раскрытия  $L_1$  и зоны контакта  $L_2$ . Далее решаем контактную задачу, описываемую интегральными уравнениями (8) — (11) и дополнительным условием (12) при заданных зоне раскрытия  $L_1^{(1)}$  и зоне контакта  $L_2^{(1)}$ . В зоне контакта  $L_2^{(1)}$  вычисляем нормальное усилие  $N^+$  и отыскиваем точку, в которой  $N^+$  обращается в нуль. Эта точка используется для построения второго приближения  $L_1^{(2)}, L_2^{(2)}$  и повторно решается контактная задача.

Таким образом, строится итерационный процесс, который в рассматриваемом случае сходится за два—три шага. Система интеграль-

ных уравнений (8) — (11) сводится к системе линейных алгебраических уравнений по схеме Мультиппа [7].

Алгоритм контактной задачи реализован на ЭВМ ЕС-1022 на языке ФОРТРАН. В качестве примера рассмотрим остывание отливки квадратного поперечного сечения  $0,5 \times 0,5$  м, материал которой характеризуется следующими механическими и теплофизическими параметрами:

$$\begin{aligned} E_1 &= 21 \text{ ГПа}, \quad E_2 = 16 \text{ ГПа}, \quad G = 4,2 \text{ ГПа}, \\ \nu_1 &= 0,59 \cdot 10^{-5} \cdot \text{К}^{-1}, \quad \alpha_2 = 0,77 \cdot 10^{-5} \cdot \text{К}^{-1}, \quad \mu_1 = 0,539 \cdot i, \quad \mu_2 = 2,127 \cdot i, \\ \kappa_{11} &= \kappa_{22} = 0,7 \text{ Вт}/(\text{м} \cdot \text{К}), \quad k_{11} = k_{22} = 1,8 \cdot 10^{-5} \cdot \text{м}^2/\text{с}, \\ \beta_1 &= \beta_2 = 12,6 \text{ Вт}/(\text{м}^2 \cdot \text{К}). \end{aligned}$$

Тело ослаблено криволинейной трещиной, описанной параметрическими уравнениями

$$\begin{aligned} z &= z_0 + z' \cdot e^{i\theta}, \quad z = x + iy, \quad z_0 = x_0 + iy_0, \quad z' = x' + iy', \quad \psi = \vartheta + \varphi, \\ x' &= R_1 \cos(\beta + 1/2) \varphi_0, \quad y' = R_2 \cdot \sin(\beta + 1/2) \varphi_0, \quad -1 \leq \beta \leq 1, \\ \varphi_0 &\leq \pi/2, \quad \beta = \cos \Theta, \quad 0 \leq \Theta \leq \pi. \end{aligned}$$

Из результатов расчета следует, что коэффициент интенсивности напряжений резко падает при углублении внутренней трещины и появлении в ней зоны контакта. Так, через 10 ч после начала остывания тела при изменении  $\delta$  от 0,01 м до 0,03 м коэффициент интенсивности напряжений уменьшается более чем в два раза. Интересно отметить также, что на границе тела вблизи внутренней трещины, перпендикулярной этой границе, возникают значительные нормальные напряжения, приводящие к появлению встречной краевой трещины.

1. Кантор Б. Я., Стрельникова Е. А., Фильштинский Л. А. Контактная задача теории упругости для плоской анизотропной среды, ослабленной криволинейным разрезом. — Н кн.: Исследования по теории пластин и оболочек. — Казань: Изд-во Казан. ун-та, 1981, вып. 16, с. 99...106.
2. Кантор Б. Я., Стрельникова Е. А., Фильштинский Л. А. Контактная задача теории упругости для анизотропной пластины, ослабленной криволинейным разрезом. — Изв. АН АрмССР. Механика, 1981, 24, № 2, с. 21...31.
3. Саврук М. П. Двумерные задачи упругости для тел с трещинами. — Киев: Наук. думка, 1981. — 323 с.
4. Кит Г. С., Кривцун М. Г., Грилицкий Н. Д. Методы решения плоских контактных задач термоупругости для тел с криволинейными трещинами. — В кн.: Тез. докл. I Всесоюз. конф. «Механика неоднородных структур». Львов, 1983, с. 102...103.
5. Фильштинский Л. А. Упругое равновесие плоской анизотропной среды, ослабленной произвольными криволинейными трещинами. Предельный переход к изотропной среде. — МТТ, 1976, № 5, с. 91...97.
6. Блох М. В., Гинц А. А., Кантор Б. Я. Об одном методе решения контактной задачи для цилиндрических оболочек. — ПМ, 1977, № 5, с. 38...40.
7. Каландия А. И. Математические методы двумерной теории упругости. — М.: Наука, 1973. — 303 с.

Сумский филиал  
Харьковского политехнического института

Получено  
05. 01. 84